



## اثرات مکش/دمش بر جریان و انتقال حرارت یک صفحه نفوذپذیر در حضور نانوسیال‌های مختلف

حمید ملکی<sup>1</sup>, محمد ذوالفقار<sup>2</sup>, مهدی محسنی<sup>3\*</sup>

1- فارغ التحصیل کارشناسی ارشد، مهندسی مکانیک، دانشگاه صنعتی اصفهان، اصفهان

2- دانشجوی کارشناسی ارشد، مهندسی مکانیک، دانشگاه صنعتی قم، قم

3- استادیار، مهندسی مکانیک، دانشگاه صنعتی قم، قم

\* قم، صندوق پستی 1519-37195 m.mohseni@qut.ac.ir

### چکیده

در این پژوهش، جریان و انتقال حرارت نانوسیال روی یک صفحه نفوذپذیر در حضور شرط مرزی جابجایی مورد بررسی قرار گرفته است. چهار نوع نانو سیال آب- مس، آب- الومینا، آب- تیتانیا و آب- نقره برای بررسی انتخاب شده است. معادلات دیفرانسیل جزئی حاکم بر مسأله با استفاده از حل تشبیهی به معادلات دیفرانسیل معمولی تبدیل و سپس با روش محاسبات عددی رانگ- کوتا- فلبرگ مرتبه چهارم- پنجم و استفاده از نرم افزار میپل حل شده است. تأثیرات کسر جرمی نانوذرات، پارامتر شرط مرزی جابجایی و نوع نانوسیال در حالات مکش، صفحه نفوذ ناپذیر و دمش بر پروفیل‌های سرعت و دما، عدد ناسلت محلی و ضربی اصطکاک پوسته‌ای محلی به ازای نرخ‌های مختلفی از نفوذپذیری بررسی شده است. نتایج بدست آمده نشان می‌دهد که برخی پارامترهای فوق اثر مقاومتی در حالت مکش و دمش دارند. اثر تغییر کسر جرمی نانوذرات بر روی پروفیل‌های سرعت و دما و در نتیجه ضربی اصطکاک و عدد ناسلت محلی در حالت دمش خیلی بیشتر از حالت‌های مکش و صفحه نفوذپذیر می‌باشد. در حالت کلی با افزایش کسر جرمی نانوذرات مقدار عدد ناسلت محلی و ضربی اصطکاک افزایش می‌یابد. بیشترین مقدار ضربی اصطکاک محلی در حالات‌های مکش و صفحه نفوذپذیر، برای نانوسیال آب نقره مشاهده شد در حالی که بیشترین مقدار عدد ناسلت برای حالت مکش مربوط به نانوسیال آب- مس می‌باشد.

### اطلاعات مقاله

مقاله پژوهشی کامل

دریافت: 10 خرداد 1396

پذیرش: 30 مرداد 1396

ارائه در سایت: 31 شهریور 1396

کلید واژگان:

انتقال حرارت

نانوسیال

صففحه نفوذپذیر

مکش و دمش

حل تشبیهی

## Effects of suction/injection on flow and heat transfer over a permeable surface in presence of different nanofluids

Hamid Maleki<sup>1</sup>, Mohammad Zolfaghari<sup>2</sup>, Mahdi Mohseni<sup>2\*</sup>

1- Department of Mechanical Engineering, Isfahan University of Technology, Isfahan, Iran

2- Department of Mechanical Engineering, Qom University of Technology, Qom, Iran

\* P.O.B. 1519-37195, Qom, Iran, m.mohseni@qut.ac.ir

### ARTICLE INFORMATION

Original Research Paper

Received 31 May 2017

Accepted 21 August 2017

Available Online 22 September 2017

Keywords:

Heat Transfer

Nano-fluid

Permeable Surface

Suction and Injection

Similarity Solution

### ABSTRACT

In this study, flow and heat transfer of some nano-fluids over a permeable surface with convective boundary condition has been investigated. Four types of nano-fluids, i.e. Cu-water, Al<sub>2</sub>O<sub>3</sub>-water, TiO<sub>2</sub>-water and Ag-water are considered for investigation. The governing partial differential equations (PDEs) first transformed to ordinary differential equations (ODEs) using similarity solution method. The obtained equations are then solved numerically by making use of Runge-Kutta-Fehlberg fourth-fifth order's (RKF45) method. The effects of nanoparticles type, volume fraction of nanoparticles, the type of permeability and convective boundary condition in three cases, i.e. suction, injection and impermeable surface, on the velocity and temperature variations as well as the local Nusselt number and skin friction coefficient are examined. The results show that some of the above parameters have different effects in suction and injection states. The effect of nanoparticle volume fraction on velocity and temperature variations and then the local skin-friction coefficient and local Nusselt number are noticeably larger than in injection rather than suction or impermeable surfaces. Generally, the increase of volume fraction leads to enhancement of local skin friction as well as Nusselt number. In the cases of suction and impermeable surfaces, the maximum friction coefficient was found with Ag-water as nano-fluid while the maximum Nusselt number is observed with Cu-water nanofluid in suction.

رشد چشمگیری داشته‌اند و با دو مشخصه اصلی مکش<sup>1</sup> و دمش<sup>1</sup> سیال

شناخته می‌شوند. بررسی جریان و انتقال حرارت روی این صفحه‌ها موضوع

صفحه‌های نفوذپذیر در سال‌های گذشته در بسیاری از زمینه‌های مهندسی

### 1- مقدمه

<sup>1</sup> Suction

Please cite this article using:

H. Maleki, M. Zolfaghari, M. Mohseni, Effects of suction/injection on flow and heat transfer over a permeable surface in presence of different nanofluids, *Modares Mechanical Engineering*, Vol. 17, No. 9, pp. 207-216, 2017 (in Persian)

برای ارجاع به این مقاله از عبارت ذیل استفاده نمایید:

صفحه نفوذپذیر متحرک را برای مایع تحت اثرات شیمیایی، به صورت عددی مورد بررسی قرار دادند. در این پژوهش، پارامترهای مکش و دمش در کنار پارامترهایی نظیر اثر دفور و سوت، انتقال حرارت تشعشعی و واکنش دهنده‌های شیمیایی برگشت‌ناپذیر مورد بررسی قرار گرفت. نتایج این پژوهش نشان می‌دهد اصطکاک پوسته‌ای و عدد ناسلت محلی با افزایش پارامتر مکش افزایش می‌یابند. همچنین نتایج این بررسی نشان داد، مکش افزایش دمای سیال و دمش کاهش دمای سیال را در پی خواهد داشت.

بررسی جریان و انتقال حرارت روی سطوح نفوذپذیر ساده، درصد کمتری از پژوهش‌های مربوط به سطوح نفوذپذیر را به خود اختصاص داده است. آیشак [14] جریان لایه مرزی آرام و پایای عبوری از یک صفحه نفوذپذیر را به صورت عددی مورد بررسی قرار داد به طوری که سطح پایینی صفحه تحت گرمایش جابجایی قرار گرفته بود. نتایج این پژوهش نشان می‌دهد که افزایش مکش، تنش برشی روی سطح را افزایش داده و سبب زیاد شدن نرخ انتقال حرارت می‌شود. همچنین دمش سیال روی سطح موجب کاهش نرخ انتقال حرارت و تنش برشی روی صفحه خواهد شد. در پژوهشی مشابه، آیدین و کایا [2] جریان لایه مرزی آرام عبوری از یک صفحه نفوذپذیر افقی را به صورت عددی و تشابهی بررسی نمودند. آن‌ها کاربرد مکش را کاهش ضخامت لایه مرزی و در نتیجه افزایش انتقال مومنتوم در روی سطح صفحه بیان نمودند که باعث افزایش سرعت، گرادیان سرعت و درنتیجه افزایش نرخ انتقال حرارت و ضریب اصطکاک پوسته‌ای می‌شود.

نیاز به افزایش راندمان و بهبود انتقال حرارت در سیستم‌های حرارتی سبب شد تا تحقیقات گستره‌هایی برای استفاده از نانوسيال به جای سیال‌های متداول نظری آب که بتواند خواص حرارتی بهتری را ارائه دهد، انجام شده است. علاوه بر بالا بودن هدایت حرارتی یک نانوسيال، پراکندگی حرارتی<sup>۱</sup> و آشفته شدن جریان به واسطه حرکت ذره‌ها، از دیگر عواملی هستند که باعث افزایش ضریب انتقال حرارت جابجایی شده و برتری نانوسيال‌ها را نسبت به سیال‌های معمول در سیستم‌های انرژی و به خصوص فرآیندهای خنک کاری رقم می‌زنند.

ضیایی‌راد و کسایی‌پور [15] به حل تشابهی لایه مرزی برای جریان جابجایی ترکیبی نانوسيال آب- مس عبوری از یک صفحه تحت افقی به صورت عددی پرداختند. نتایج این پژوهش نشان داد، عدد ناسلت جریان با افزایش کسر حجمی نانوذرات و پارامتر جابجایی ترکیبی با افزایش روی و خواهد شد، به طوری که عدد ناسلت برای نانوسيال آب- مس با کسر حجمی 4 درصدی نسبت به سیال خالص حدود 10 درصد افزایش می‌یابد. همچنین مشاهده شد، پارامتر ضریب اصطکاک در همین محدوده حدود 20 درصد افزایش یافته است. در پژوهشی دیگر فریدونی‌مهر و برادران رحیمی [16] جریان نانوسيال عبوری از یک صفحه انبساطی را در حضور میدان مغناطیسی و شرایط مرزی لغزش و همرفت سطحی، به صورت نیمه تحلیلی مورد بررسی قرار دادند. در این پژوهش از روش آنالیز هموتوپی بهینه<sup>۲</sup> برای حل معادلات دیفرانسیل حاکم بر مسئله استفاده شد. نتایج این بررسی نشان داد، حضور نانوذرات در سیال پایه موجب بهبود عملکرد انتقال حرارت همرفتی سیالات مختلف می‌شود. همچنین مشاهده شد، گرادیان دمای دیواره با افزایش پارامتر انتشار حرارتی و یا کاهش پارامتر حرکت براونی کاهش می‌یابد.

باک و همکاران [17] جریان نانوسيال عبوری از یک صفحه نفوذپذیر متحرک را بررسی کردند. آن‌ها از نانوذرهای مس، آلومینیا<sup>۳</sup> و تیتانیا<sup>۴</sup> در

پژوهش‌های بسیاری در شاخه‌های کاربردی بوده و توجه بسیاری از صنایع را به خود جلب کرده است.

از کاربردهای صنعتی این صفحات می‌توان به استفاده در سیستم روغن کاری و خنک کاری یاتاقان‌های محوری، دیفیوزرهای شعاعی، سیستم‌های صنایع نفت و گاز، خنک کاری مکشی پره‌های توربین، روغن کاری قطعات سرامیکی ماشین‌ها، کنترل لایه مرزی ایرفویل‌ها، استخراج انرژی زمین‌گرمایی، سیستم خنک کاری راکتورهای هسته‌ای، فرآیندهای مرتبط با مواد غذایی، فرآیندهای فیلتراسیون، کاهش اثرات کاویتابسیون و سیستم‌های بازیاب انرژی اشاره نمود [7-1]. معمولاً مکش برای افزایش نرخ انتقال حرارت و حذف واکنش‌دهنده‌ها در فرآیندهای شیمیایی کاربرد دارد. همچنین دمش به منظور کاهش درگ، افزودن واکنش‌دهنده‌ها در فرآیندهای شیمیایی، خنک کاری سطوح و جلوگیری از خوردگی به کار می‌رود [1].

پژوهش‌های بسیاری در مورد تاثیر ترم نفوذپذیری (مکش و دمش) در جریان سیالات معمول عبوری از سطوح نفوذپذیر در قالب شرایط مرزی و هندسه‌های مختلف و همچنین روش‌های حل متفاوت (تحلیلی، نیمه تحلیلی و عددی) انجام شده است. واتاناب [9,8] جریان و انتقال حرارت جابجایی اجباری، طبیعی و مختلط را روی یک صفحه و گوشه نفوذپذیر عمودی به صورت تحلیلی بررسی کرد. نتایج این دو بررسی نشان داد پارامترهای انتقال حرارت و اصطکاک پوسته‌ای با افزایش پارامتر دمش، کاهش می‌یابند. همچنین افزایش پارامتر مکش، افزایش دما و سرعت در لایه مرزی و افزایش گرادیان سرعت در سطح صفحه و گوشه را در پی خواهد داشت که موجب افزایش پارامترهای انتقال حرارت و اصطکاک پوسته‌ای می‌شود. در ادامه بررسی‌های تحلیلی، مگیاری و کلر [10] حل‌های دقیقی برای جریان روی صفحه نفوذپذیر ابساطی<sup>۵</sup> ارائه کردند. در این بررسی صفحه در حالت‌های نفوذناپذیر، مکش و دمش در چند حالت خاص مورد بررسی قرار گرفت.

فرض‌های ساده‌کننده فراوان برای ترم‌های مختلف معادلات و شرایط مرزی و همچنین دشواری محاسبات ریاضی حل‌های تحلیلی سبب شد تا این نوع بررسی، جای خود را به تبدیل‌های تشابهی و حل‌های عددی بدهد. سطوح نفوذپذیر متحرک و انسباطی‌انقباضی بخش زیادی از پژوهش‌های صورت گرفته در زمینه سطوح نفوذپذیر را به خود اختصاص داده‌اند. این نوع صفحه‌ها می‌توانند تحت شرایط مختلف، دارای حل‌های دوگانه<sup>۶</sup>، حل‌های یکتا یا بدون جواب باشند. ویدمن و همکاران [11] تاثیر نفوذپذیری بر جریان لایه‌مرزی و انتقال حرارت روی یک صفحه متحرک را بررسی کردند. نتایج این بررسی نشان داد، زمانی که صفحه 50 درصد سریع‌تر با کندر از جریان آزاد سیال حرکت می‌کند، مکش سیال از روی سطح موجب افزایش گرادیان سرعت روی سطح خواهد شد. همچنین در بخش دیگر از این پژوهش در مورد امکان‌سنجی حل‌های پایا بحث شده است. نتایج این قسمت نشان می‌دهد، مکش بازه پایداری حل‌های عددی را افزایش و دمش این بازه را کاهش می‌دهد. قش و همکاران [12] جریان حول یک صفحه نفوذپذیر انقباضی غیرخطی را به صورت عددی بررسی کردند. در این بررسی تاثیر شرط مرزی لغزش، شاخص سیالات غیرنیوتونی و پارامتر مکش مورد بررسی قرار گرفت. نتایج این بررسی برای حل‌های دوگانه نشان داد، با افزایش پارامتر مکش سرعت حل اول<sup>۷</sup> افزایش می‌یابد ولی برای حل دوم<sup>۸</sup> عکس این روند مشاهده می‌شود. ماکینده و الانزوواجا [13] جریان و انتقال حرارت روی یک

<sup>1</sup> Injection (Blowing)

<sup>2</sup> Stretching Sheet

<sup>3</sup> Dual Solutions

<sup>4</sup> First Branch Solution

<sup>5</sup> Second Branch Solution

<sup>6</sup> Thermal Dispersion

<sup>7</sup> Optimal Homotopy Analysis Method(OHAM)

<sup>8</sup> Alumina ( $\text{Al}_2\text{O}_3$ )

سيستم مورد نظر از سوی دیگر، منجر شد تا پژوهش حاضر مورد توجه قرار بگیرد. در حقیقت اين پژوهش در ادامه پژوهش‌های آيدین و کايا [2] و آيشاک [14]، به بررسی تاثير حضور نانوذرات مختلف روی صفحات نفوذپذير ساده می‌پردازد. همچنین به بررسی دقیقی بين ویژگی‌های جريان و انتقال حرارت در حضور مکش و دمش نانوسيال پرداخته می‌شود و آن را با صفحه نفوذپذير (صفحه تخت ثابت) مقایسه می‌کند. تاثير پارامترهای مکش و دمش روی پروفیلهای سرعت و دما، ضريب اصطکاک پوسته‌ای محلی و عدد ناسلت محلي در جريان نانوسيال عبوری از يك صفحه نفوذپذير بررسی شده و نتایج با حالتی که سیال عاری از هرگونه نانوذره باشد (سیال معمول)، نیز صورت گرفته است. در این پژوهش از چهار نانوذره مس، آلومینا (اکسید آلومینیوم)، تیتانیا (اکسید تیتانیوم) و نقره استفاده می‌شود.

## 2- بيان مسئله و معادلات حاكم

"شكل 1" مدل فيزيکي و سيستم مختصات مسئله حاضر را نشان می‌دهد. اين پژوهش با فرض جريان لایه مرزي دو بعدی، پایه، آرام و شرط مرزي جابجايی در زير صفحه بررسی می‌شود. همچنین نانوسيال به طور یکنواخت با سرعت  $U_{\infty}$  و دماي  $T_{\infty}$  روی صفحه جريان می‌يابد. نانوسيال مورد استفاده شامل نانوذره‌های مس، آلومینا، تیتانیا و نقره و آب به عنوان سیال پایه است. شکل و اندازه نانوذره‌ها یکنواخت فرض شده است. همچنین فرض شده سیال و نانوذره‌ها در حالت تعادل حرارتی به سر می‌برند و هیچ لغزشی بين نانوذره‌ها رخ نمی‌دهد. در اين بررسی، جريان نانوسيال غيرقابل تراکم فرض می‌شود و از تاثير حرکات براونی نانوذرات، نیروهای خارجی (نظیر اثر گرانش یا الکترومگنتیک)، تشعشع، تولید گرمای داخلی و اتلاف ویسکوزی صرف نظر می‌شود.

براساس فرضيات لایه مرزی و فرضیات بالا، روابط پیوستگی، مومنتوم و انرژی به شکل زیر در می‌آیند [23,22]:

$$\frac{\partial u}{\partial x} + \frac{\partial v}{\partial y} = 0 \quad (1)$$

$$u \frac{\partial u}{\partial x} + v \frac{\partial v}{\partial y} = \nu_{nf} \frac{\partial^2 u}{\partial y^2} \quad (2)$$

$$u \frac{\partial T}{\partial x} + v \frac{\partial T}{\partial y} = \alpha_{nf} \frac{\partial^2 T}{\partial y^2} \quad (3)$$

در اين روابط  $u$  و  $v$  به ترتيب مقدار سرعت در جهت  $x$  و  $y$  هستند.  $T$  دماي نانوسيال در لایه مرزی،  $\nu_{nf}$  و  $\alpha_{nf}$  به ترتيب لزجت سینماتيکي و ضريب پخش حرارتی نانوسيال هستند.

شرط مرزی جريان عبارتند از:

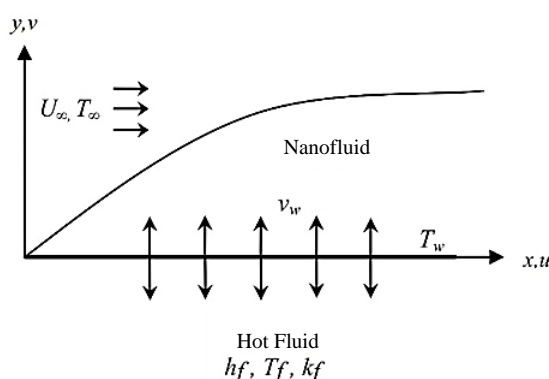


Fig. 1 Physical model and the coordinate system

شکل 1 مدل فيزيکي و سيستم مختصات مسئله حاضر

سيال پایه آب استفاده کردند. نتایج آنها نشان می‌دهد که استفاده از نانوسيال سبب افزایش ضريب انتقال حرارت و ضريب اصطکاک پوسته‌ای می‌شود. بالاترین مقدار برای اين ضرایب به ازای نانوسيال آب-مس مشاهده شد. همچنین مشاهده شد، افزایش کسر حجمی نانوذراتها اصطکاک پوسته‌ای و عدد ناسلت را افزایش می‌دهد. در پژوهشی دیگر، باک و همکاران [18] جريان و انتقال حرارت نانوسيال آب-مس روی یک صفحه نفوذپذير انساطی (انقباضی) را بررسی کردند. نتایج آنها نشان می‌دهد که افزایش کسر حجمی نانوذراتها سبب افزایش ضريب انتقال حرارت و ضريب اصطکاک می‌شود. علاوه بر اين، مکش سبب افزایش تنش برشی روی سطح شده و انتقال حرارت روی سطح را افزایش می‌دهد. موتسومی و ماکینده [19] در يك بررسی عددی، اثرات مکش، انتقال حرارت تشعشعی و اتلاف ویسکوز را روی جريان و انتقال حرارت نانوسيال عبوری از يك صفحه نفوذپذير متحرک مورد بررسی قرار دادند. نتایج آنها نشان می‌دهد، افزایش پارامترهای مکش و کسر حجمی نانوذرات سبب افزایش نرخ انتقال حرارت شده در حالی که پارامترهای تشعشع و نرخ سرعت صفحه سبب کاهش انتقال حرارت می‌شوند. همچنین ضريب اصطکاک پوسته‌ای برای نانوسيال آب-مس بیشتر از نانوسيال آب-آلومینا مشاهده شد. داس و همکاران [20] تاثير شرایط مرزي لغزشی را روی جريان و انتقال حرارت نانوسيال مگنتوهیدرودینامیک<sup>1</sup> روی يك صفحه نفوذپذير انساطی غیرخطی به صورت عددی بررسی کردند. اين پژوهش در حضور شرایط مرزي لغزشی و واکنش شیمیایی مرتبه اول بررسی شد. نتایج اين بررسی نشان داد، افزایش پارامترهای مکش و دمش در حضور شرط مرزي لغزش تاثير زیادي روی دماي سطح صفحه خواهد داشت، به طوریکه با افزایش پارامتر مکش دماي بدون بعد سطح بیش از 50 درصد کاهش می‌يابد. اين درحالی است که با افزایش پارامتر دمش، دماي سطح حدود 35 درصد افزایش می‌يابد. همچنین نتایج اين نانوذرات می‌شود، در حالی که با افزایش پارامتر دمش عکس اين روند مشاهده می‌شود. ضیابی راد و همکاران [21] جريان جابجایی ترکیبی نانوسيال را روی يك صفحه نفوذپذير شیبدار به صورت عددی، مورد بررسی قرار دادند. نتایج اين پژوهش نشان داد، افزایش مکش از دیواره نرخ انتقال حرارت را به صورت خطی افزایش خواهد داد. همچنین رشد ضريب اصطکاک پوسته‌ای متوسط، در حضور کسر حجمی نانوذرات برابر، در حالت مکش 5 درصد بیشتر از حالت دمش مشاهده شد. همچنین با افزایش زاویه صفحه از حالت افقی به زاویه 60 درجه، در تمامی کسر حجمی نانوذرات مورد بررسی، ضريب اصطکاک 240 درصد و عدد ناسلت 25 درصد افزایش یافت.

در تمامی پژوهش‌های بررسی شده در قسمت قبل، جريان و انتقال حرارت سیالات معمول یا نانوسيالات تکفاز بر روی هندسه‌هایی از قبيل صفحات نفوذپذير انساطی (انقباضی) خطی یا غیرخطی [10,12,18,20] و صفحات متحرک [19,17,13,11] در حضور شرایط مرزي و پارامترهای مختلف، مورد توجه قرار گرفت. بررسی‌های مربوط به سطوح نفوذپذير ساده، محدود به جريان سیالات معمول نظر آب یا هوا [14,2] بوده و جريان نانوسيال روی اين صفحات مورد توجه محققان قرار نگرفته است. بنابراین عدم بررسی جريان نانوسيال روی صفحات نفوذپذير ساده، به عنوان سطوح بسیار پرکاربرد در فرآيندهای مختلف صنعتی از يك سو و اهمیت تاثیر نرخ نفوذپذيري (پارامترهای مکش و دمش) روی رفتار جريان و انتقال حرارت

<sup>1</sup> Titania ( $TiO_2$ )

<sup>2</sup> Magnetohydrodynamic (MHD)

در روابط (9) و (10)، عدد پرانتل سیال پایه را نشان می‌دهد. در این مسئله عدد پرانتل آب 6.2 در نظر گرفته شده است. همچنین ضرایب  $m_0$  و  $m_1$  که نشان دهنده خواص نانوسيال هستند، به شکل زیر تعریف می‌شوند:

$$m_0 = \frac{1}{(1-\varphi)^{2.5}[(1-\varphi)+\varphi\rho_s/\rho_f]},$$

$$m_1 = \frac{[(k_s/k_f+2)-2\varphi(1-k_s/k_f)]}{[(1-\varphi)+\varphi(\rho C_p)_s/(\rho C_p)_f][(k_s/k_f+2)+\varphi(1-k_s/k_f)]} \quad (11)$$

با حل تشابهی روابط (1)-(5) روابط (12) و (13) نیز حاصل می‌شوند:  
[30-28]

$$v_w = -\frac{1}{2} \left( \frac{U_\infty v_f}{x} \right)^{1/2} f_w \quad (12)$$

$$h_f = cx^{-1/2} \quad (13)$$

که  $c$  و  $f_w$  ثابت هستند.  $f_w$  نشان دهنده نرخ نفوذپذیری روی سطح است. یعنی  $f_w = 0$  حالت صفحه نفوذپذیر،  $f_w > 0$  حالت مکش و  $f_w < 0$  حالت دمش را نشان می‌دهد.

شرطی مرزی تبدیل یافته عبارت‌اند از:

$$\eta = 0 : f' = 0, f = f_w, \theta' = -\frac{k_f}{k_{nf}} a [1 - \theta] \quad (14)$$

$$\eta \rightarrow \infty : f' \rightarrow 1, \theta \rightarrow 0$$

که در آن ثابت  $a$  به شکل  $a/k_f$  تعریف می‌شود. باید توجه نمود که روابط (12) و (13) برای استقلال شرایط مرزی از پارامتر  $x$  ضروری است. زیرا بدون این فرض حل‌های کلی به حل‌های تشابهی محلی تبدیل می‌شوند (آیشک و همکاران [31]).

ضراب اصطکاک پوسته‌ای محلی و عدد ناسلت محلی به شکل زیر تعریف می‌شوند.

$$C_{fx} = \frac{\tau_w}{\rho_f U_\infty^2}, \text{Nu}_x = \frac{x q_w}{k_f (T_w - T_\infty)} \quad (15)$$

که  $\tau_w$  و  $q_w$  به ترتیب تنش برشی و شار حرارتی روی سطح هستند و به شکل زیر تعریف می‌شوند:

$$\tau_w = \mu_{nf} \left( \frac{\partial u}{\partial y} \right)_{y=0}, q_x = \alpha_{nf} \left( \frac{\partial T}{\partial y} \right)_{y=0} \quad (16)$$

با استفاده از متغیرهای تشابهی ضریب اصطکاک پوسته‌ای محلی<sup>۳</sup> و عدد ناسلت محلی<sup>۴</sup> به شکل زیر تبدیل می‌شود:

$$C_{fx} \text{Re}_x^{1/2} = \frac{\mu_{nf}}{\mu_f} f''(0),$$

$$\text{Nu}_x \text{Re}_x^{-1/2} = \frac{k_{nf}}{k_f} \theta'(0) \quad (17)$$

که عدد رینولدز محلی<sup>۵</sup> به صورت  $\text{Re}_x = U_\infty x / v_f$  تعریف می‌شود.

### 3- روش حل عددی و اعتیارسنجی نتایج

حل معادلات دیفرانسیل معمولی (9) و (10) به همراه شرایط مرزی (14) با استفاده از نرم افزار میپل<sup>6</sup> به صورت عددی و با الگوریتم رانگ-کوتا-فلبرگ مرتبه چهارم-پنجم<sup>7</sup> انجام می‌گردد [32]. شرایط مرزی که در  $\eta \rightarrow \infty$  تابع  $f$  جریان بدون بعد،  $\theta$  دمای بدون بعد و  $\psi$  تابع جریان<sup>8</sup> است. تابع جریان به گونه‌ای تعریف می‌شود که روابط  $u = \partial\psi/\partial y$  و  $v = -\partial\psi/\partial x$  را ارضا کند.

با استفاده از رابطه (7) داریم:

$$u = U_\infty f'(\eta), v = \frac{1}{2} \left( \frac{U_\infty v_f}{x} \right)^{1/2} (\eta f' - f) \quad (8)$$

با جایگذاری روابط (6)-(8) در روابط (2) و (3) داریم:

$$m_0 f''' + \frac{1}{2} f'' f = 0 \quad (9)$$

$$\theta'' + \frac{\Pr_f}{2m_1} \theta' f = 0 \quad (10)$$

<sup>2</sup> Local Skin Friction Coefficient

<sup>3</sup> Local Nusselt Number

<sup>4</sup> Local Reynolds Number

<sup>5</sup> Maple

<sup>6</sup> Runge-Kutta-Fehlberg fourth-fifth order (RKF45)

$$u = 0, v = v_w \quad \text{در } y = 0$$

$$u \rightarrow U_\infty \quad y \rightarrow \infty \quad (4)$$

که  $v_w$  نمایانگر سرعت انتقال جرم روی سطح صفحه است.  $0 < v_w < U_\infty$  حالت مکش را نشان می‌دهد. همچنین فرض کرده‌ایم که سطح پایینی صفحه، تحت انتقال حرارت جابجایی سیال پایه (آب) با دمای  $T_f$  و ضریب انتقال حرارت  $h_f$  قرار گیرد. بنابراین شرایط مرزی حرارتی به شکل زیر نوشته می‌شود.

$$-k_{nf} \frac{\partial T}{\partial y} = h_f (T_f - T_w) \quad \text{در } y = 0 \quad (5)$$

$$T \rightarrow T_\infty \quad y \rightarrow \infty \quad (5)$$

در رابطه (5) و  $T_w$  به ترتیب ضریب هدایت حرارتی نانوسيال و دمای پکنواخت بالای سطح صفحه است ( $T_f > T_w > T_\infty$ ).

برای تشریح ویژگی‌های ترموفیزیکی نانوسيالات روابط بسیاری ارائه شده است. در این میان، روابط ارائه شده توسط پاک و چو [24] (تئوری مخلوط)، یمین و لی [25] و برینکمن [26] که به ترتیب برای محاسبه مقادیر ظرفیت حرارتی و چگالی، هدایت حرارتی و لزجت نانوسيالات به کار می‌روند، از مقبولیت بیشتری برخوردارند. در بسیاری از پژوهش‌های صورت گرفته اخیر، از این مدل‌ها برای بیان مشخصات ترموفیزیکی نانوسيالات استفاده شده است [17-21]. اعتبار و دقت این روابط توسط بونگیورنو [27] مورد بررسی قرار گرفته است. در پژوهش حاضر نیز از این روابط برای محاسبه خواص ترموفیزیکی نانوسيال استفاده می‌شود:

$$\alpha_{nf} = \frac{k_{nf}}{(\rho C_p)_{nf}}, \mu_{nf} = \frac{\mu_f}{(1-\varphi)^{2.5}},$$

$$k_{nf} = \frac{(k_s + 2k_f) - 2\varphi(k_f - k_s)}{(k_s + 2k_f) + \varphi(k_f - k_s)},$$

$$(\rho C_p)_{nf} = (1-\varphi)(\rho C_p)_f + \varphi(\rho C_p)_s,$$

$$\rho_{nf} = (1-\varphi)\rho_f + \varphi\rho_s \quad (6)$$

که  $\alpha_{nf}$  و  $\rho_{nf}$  به ترتیب معرف لزجت دینامیکی و چگالی نانوسيال هستند.  $\varphi$  کسر حجمی نانوذرات را نشان می‌دهد و  $C_p$  ظرفیت حرارتی ویژه در فشار ثابت است.

برای حل روابط (1)-(5) و تبدیل معادلات دیفرانسیل جزئی به معادلات دیفرانسیل معمولی، از تبدیل تشابهی زیر استفاده می‌شود [30-28]:

$$\eta = (U_\infty / v_f x)^{1/2} y, \quad \psi = (U_\infty v_f x)^{1/2} f(\eta), \quad \theta(\eta) = \frac{T - T_\infty}{T_f - T_\infty} \quad (7)$$

که در آن  $v_f$  لزجت سینماتیکی سیال پایه،  $\eta$  متغیر تشابهی،  $f$  تابع جریان بدون بعد،  $\theta$  دمای بدون بعد و  $\psi$  تابع جریان<sup>9</sup> است. تابع جریان به گونه‌ای تعریف می‌شود که روابط  $u = \partial\psi/\partial y$  و  $v = -\partial\psi/\partial x$  را ارضا کند.

با استفاده از رابطه (7) داریم:

$$u = U_\infty f'(\eta), v = \frac{1}{2} \left( \frac{U_\infty v_f}{x} \right)^{1/2} (\eta f' - f) \quad (8)$$

با جایگذاری روابط (6)-(8) در روابط (2) و (3) داریم:

$$m_0 f''' + \frac{1}{2} f'' f = 0 \quad (9)$$

$$\theta'' + \frac{\Pr_f}{2m_1} \theta' f = 0 \quad (10)$$

نانوسيال در مقادير مختلف پارامتر مكش و مقاديری از پارامتر دمش که كمتر از مقدار بحراني است، سبب افزایش سرعت سيال و کاهش ضخامت لایه مرزی می شود. مقدار دمش بحراني، ميزاني از پارامتر دمش است که بيشتر از آن، جريان نانوسيال تغيير رفتار داده و با افزایش كسر حجمی نانوذرات، گرگadian سرعت و تنش برشي روی سطح شروع به کاهش می کند. برای نانوسيال آب- مس در "شكل 4" در  $\varphi = 0.1$  مقدار دمش بحراني،  $f_w = 0.5$  است. دمش بحراني وابسته به نوع نانوسيال نيز هست. جدول 2 نيز گواه اين موضوع است، جايی که با افزایش كسر حجمی نانوذرات به ازاي نانوسيال های آب- مس و آب- نقده در  $\varphi = 1$  ضريب اصطکاک پوسته ای محلي کاهش می يابد ولی برای دو نانوسيال ديگر عكس اين روند مشاهده می شود.

"شکل 5" تاثیر نوع نانوسيال را روی پروفیل سرعت نشان می‌دهد. همان‌طور که مشاهده می‌شود، در حالت‌های صفحه نفوذناپذیر و مکش، سرعت در لایه مرزی و گرادیان سرعت در مجاورت دیواره برای نانوسيال آب-نقره و آب-مس بیشتر از سایر نانوسيالات است که دلیل آن بالاتر بودن چگالی نانوذرات نقره و مس است. این در حالی است که در حالت دمش وجود نانوسيال تاثیر چندانی روی گرادیان سرعت در نزدیکی سطح و در نتیجه تنش بشی روی سطح نخواهد داشت. در واقع در حالت دمش، تنش بشی روی سطح بیشتر از این که تحت تاثیر نوع نانوذرات باشد، تحت تاثیر کسر حجمی نانوذرات است. مشاهدات ابونادا و ارتپ [34,32] نیز این مطلب را تصدیق می‌کنند. همچنین در تمامی حالت‌ها، ضخامت لایه مرزی نانوسيال آب-آلومینا بیشتر از سایر نانوسيالات است که دلیل آن پایین بودن چگالی نانوذرات آلومینا نسبت به سایر نانوذرات و در نتیجه افزایش ضخامت لایه مزدی، سرعت برای این نانوسيال، است.

دما، یوفا، سے، ب، ۲-۴

طبق روابط (9)-(14) انتقال حرارت در جریان نانوسیال روی صفحه نفوذپذیر به هدایت حرارتی نانوسیال، چگالی نانوسیال، ظرفیت حرارتی نانوسیال، کسر حجمی نانوذرات و شرایط مرزی روی صفحه وابسته است. "شکل 6" تاثیر کسر حجمی نانوذرهای را روی پروفیل دما را به ترتیب برای سه حالت مکش، صفحه نفوذپذیر و دمშ نشان می‌دهد. همان‌طور که مشاهده می‌شود در حالت مکش با افزایش کسر حجمی نانوذرهای دما در نزدیکی سطح به طور نامحسوسی کاهش می‌باشد ولی در بخش‌های دیگر لایه مرزی با افزایش کسر حجمی نانوذرهای دما در حال افزایش است. همین رفتار برای حالت صفحه نفوذ پذیر نیز مشاهده می‌شود با این تفاوت که تغییر روند دما در نقطه دورتری از دیواره رخ می‌دهد. همچنین دمای سطح در حالت صفحه نفوذپذیر، نسبت به تغییر کسر حجمی نانوذرات حساسیت بیشتری از خود نشان می‌دهد. در حالت دمშ با افزایش کسر حجمی نانوذرهای دما داخل لایه مرزی افزایش می‌باشد ولی به علت بالا بودن میزان پارامتر دمშ و افزایش ضخامت لایه مرزی به مقدار زیاد، دمای بدون بعد روی سطح و نزدیکی آن و همچنین گرادیان دمای روی سطح تغییر محسوسی نمی‌کند. در واقع افزایش جذب سیال از روی سطح صفحه (مکش) علاوه بر کاهش ضخامت لایه مرزی سرعت، ضخامت لایه مرزی حرارتی را نیز کاهش خواهد داد. این پدیده همان‌طور که در "شکل 6" نیز مشخص است، سبب افزایش گرادیان دما در لایه مرزی و به خصوص در نزدیکی سطح شده و موجب افزایش نرخ انتقال حرارت و کاهش دمای بی بعد خواهد شد. علاوه بر این، در نزدیکی صفحه که تاثرات هدایت حرارتی غالب است با افزایش کسر حجمی نانوذرات، ضربی

برای بررسی دقت و اعتبارسنجی حل عددی حاضر، پروفیل‌های سرعت و دما در سه حالت مکش، دمش و صفحه نفوذناپذیر با نتایج آیشاك [14] برای  $\varphi=0$  در "شکل 2" مقایسه شده است. همان‌طور که از این شکل مشاهده می‌شود، تطابق خوبی بین نتایج این مطالعه با پژوهش آیشاك [14] وجود دارد.

4- بررسی نتایج

در این مطالعه همان طور که قبلاً اشاره شد از 4 نانوذره نقره، مس، آلمینیا (اسید آلمینیم) و تیتانیا (اسید تیتانیوم)، به همراه آب به عنوان سیال پایه استفاده شده که خواص ترموفیزیکی آن‌ها در جدول 1 آمده است. طبق بررسی ابونادا و ازتب [32]، به شرطی که کسر حجمی نانوذرات در نانوسیال (نانوسیالی) که آب سیال پایه آن باشد) از 0.2 فراتر نرود، می‌توان عدد پرانتل را مقداری ثابت و برابر 6.2 فرض کرد.

4-1-بررسی پروفیل سرعت

همان طور که روابط (9)-(14) نشان می‌دهد، جریان نانوسیال روی صفحه نفوذپذیر به لزجت سینماتیکی نانوسیال، کسر حجمی نانوذرات و شرایط مرزی روی صفحه وابسته است. از طرفی لزجت سینماتیکی خود تابعی از چگالی و لزجت دینامیکی نانوسیال است و شرایط مرزی خود را در قالب نرخ نفوذپذیری سیال نشان می‌دهد. طبق روابط پاک و چو [24] و برینکمن [26] افزایش کسر حجمی نانوذرات، به ترتیب چگالی نانوسیال و لزجت نانوسیال را افزایش خواهد داد. "شکل 3" تاثیر کسر حجمی نانوذرهای روی پروفیل سرعت را به ترتیب برای سه حالت مکش، صفحه نفوذناپذیر و دمش نشان می‌دهد. همان‌طور که مشاهده می‌شود برای حالت مکش و صفحه نفوذناپذیر، با افزایش کسر حجمی نانوذرهای سرعت سیال در کل لایه مرزی افزایش یافته و ضخامت لایه مرزی کاهش می‌یابد. همچنین گرادیان سرعت در مجاورت دیواره در اثر افزایش لزجت نانوسیال افزایش یافته که نتیجه آن افزایش تنش برشی و ضربی اصطکاک محلی روی سطح صفحه است. این در حالی است که در حالت دمش با نرخ نفوذپذیری بالا ( $f_w = -1$ ) رفتاری عکس دو حالت دیگر خ. مر دهد.

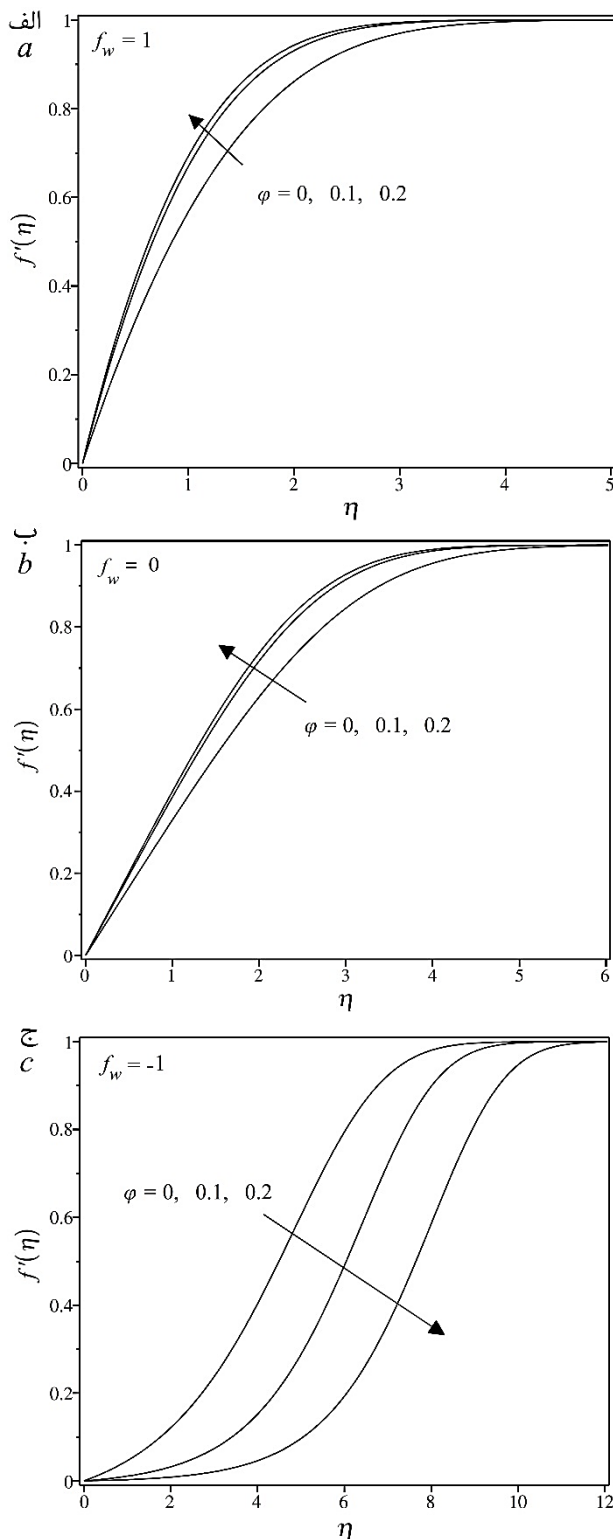
"شکل 4" تاثیر پارامتر نرخ نفوذپذیری روی پروفیل سرعت را نشان می‌دهد. همانطور که مشخص است، با افزایش پارامتر مکش ضخامت لایه مرزی کاهش و سرعت در لایه مرزی افزایش می‌یابد. در واقع افزایش پارامتر مکش به معنی جذب سیال از روی سطح صفحه می‌باشد، افزایش نرخ جذب سیال از روی سطح، منجر به کاهش ضخامت لایه مرزی سرعت و افزایش جریان روی سطح می‌گردد. در واقع این ادعا تصدیقی بر این واقعیت است که مکش سبب تثبیت رشد لایه مرزی می‌شود و با مشاهدات عالم و رحمن [33]، آیدین و کایا [2] و مکینند و الانزواجا [13] مطابقت دارد. همان‌طور که در "شکل (ج) 3" نیز مشاهده می‌شود با افزایش پارامتر دمشن، جریان نانوسیال رفتاری عکس حالت مکش نشان می‌دهد. همچنین مقایسه پروفیل‌های مربوط به سیال پایه و نانوسیال نشان می‌دهد که استفاده از

## جدول 1 خواص ترموفیزیکی سیال پایه و نانوذره‌ها

**Table 1** Thermophysical properties of the base fluid and nanoparticles

خواص فیزیکی	واحد	نقره	مس	آلومینا	تیتانیا	سیال پایه
ظرفیت حرارتی و پیزه	J/kgK	235	385	765	686.2	4179
چگالی	kg/m <sup>3</sup>	10500	8933	3970	4250	997.1
هدایت حرارتی	W/mK	429	400	40	8.9538	0.613

است و نانوسيالات آب-آلومینا و آب-تیتانیا رفتاری شبیه سیال پایه از خود نشان می‌دهند اما استفاده از نانو سیال روی دمای سطح و نزدیکی آن تغییر محسوسی ایجاد نمی‌کند که نشان دهنده ضعیف بودن عملکرد حرارتی صفحه نفوذپذیر در این حالت است.

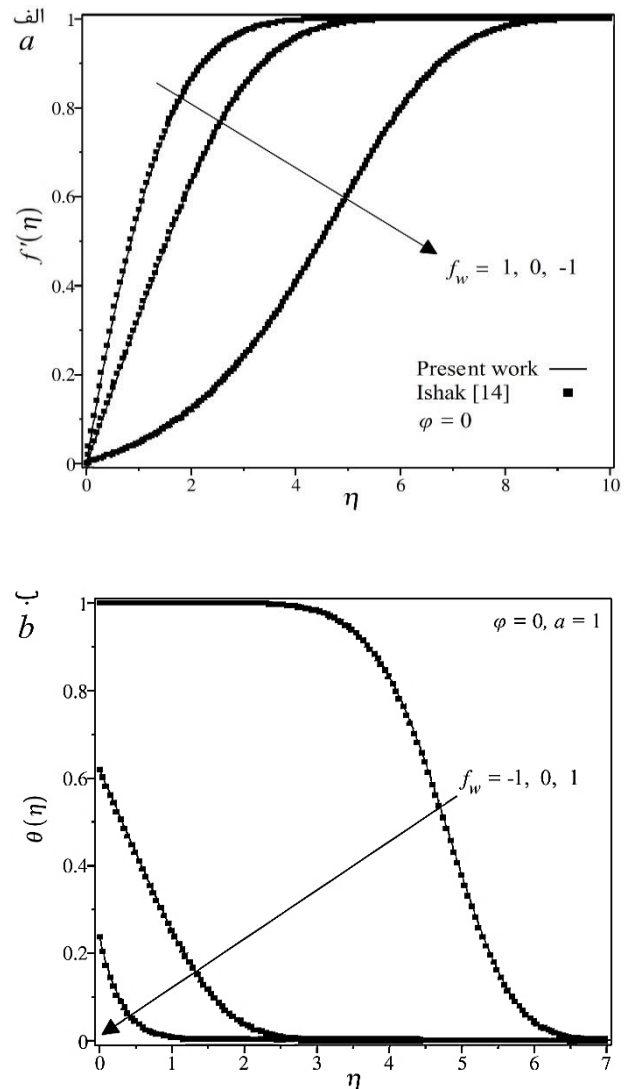


**Fig. 3** تاثیر کسر حجمی نانوذره‌های مس بر پروفیل‌های سرعت در حالات (الف) مکش، (ب) صفحه نفوذپذیر و (ج) دمش

شکل 3 تاثیر کسر حجمی نانوذره‌های مس بر پروفیل‌های سرعت در حالات (الف) مکش، (ب) صفحه نفوذپذیر و (ج) دمش

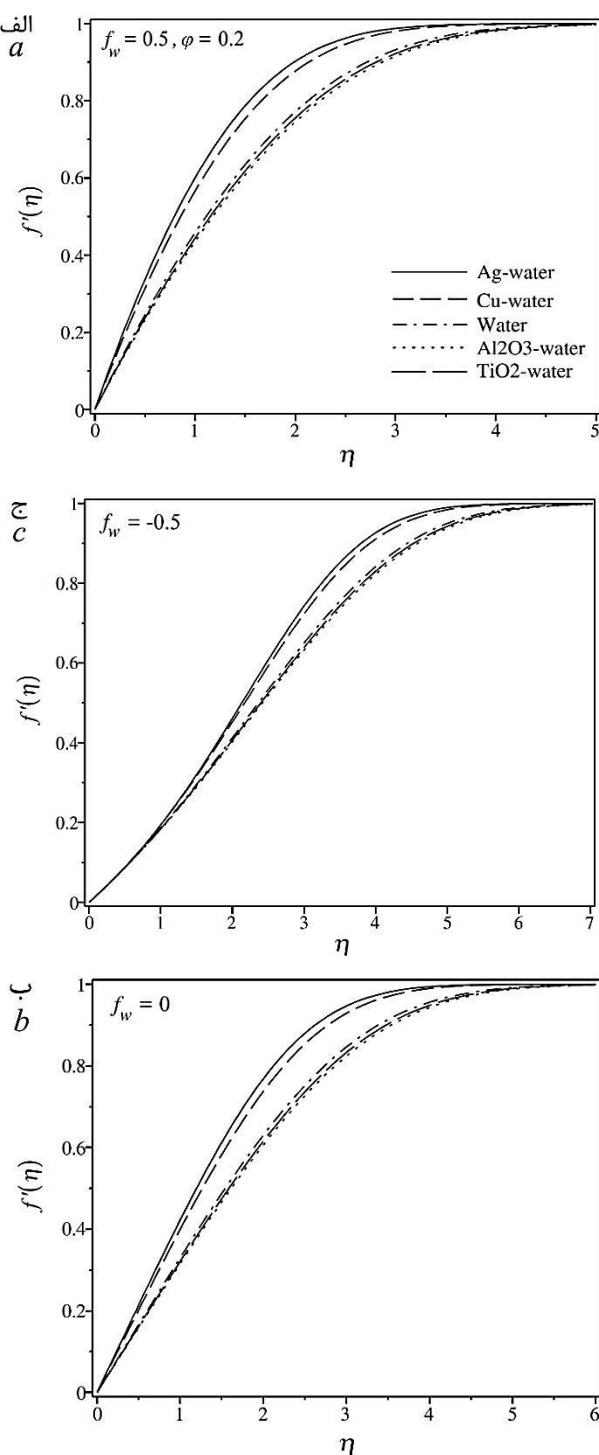
هدایت حرارتی نانوسيال افزایش پیدا کرده که این عامل منجر به افزایش انتقال حرارت از سطح و یا کاهش دمای صفحه خواهد شد. در مقابل، افزایش تزریق سیال از روی سطح به داخل لایه مرزی (دمش)، ضخامت لایه مرزی را افزایش خواهد داد و در صورتیکه دمش مقداری بیش از حالت بحرانی داشته باشد، نتایجی عکس حالت مکش را در پی خواهد داشت.

"شکل 7" تاثیر نوع نانوسيال را روی پروفیل دما نشان می‌دهد. همان‌طور که مشاهده می‌شود، مشابه "شکل 6"، در حالت مکش تنها در مجاورت دیواره، آب خالص دمای بالاتری نسبت به نانوسيال‌ها دارد. همین رفتار برای صفحه نفوذپذیر نیز مشاهده می‌شود، با این تفاوت که در نقطه دورتری از دیواره روند تغییر دما رخ می‌دهد. همچنین در حالات مکش و دمش تاثیر نوع نانوسيال بر روی دمای سطح بسیار ناچیز است. در واقع در حالت مکش دمای بی‌بعد سطح صفحه و گرادیان آن بیشتر از این که تحت تاثیر نوع نانوذره باشند، تحت تاثیر کسر حجمی نانوذرات هستند. مشاهدات از پ و ابونادا [35,33] نیز گواه این موضوع است. در حالت دمش هرچند دما در قسمتی از لایه مرزی به ازای نانو سیال آب-نقره بیشتر از نانوسيالات دیگر



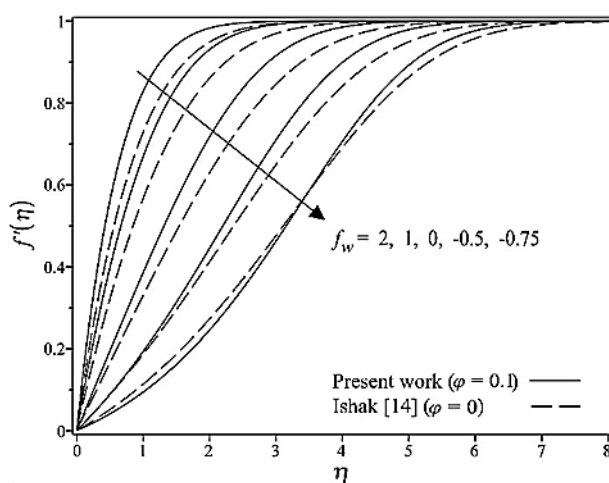
**Fig. 2** مقایسه پروفیل‌های (الف) سرعت و (ب) دما در نفوذپذیری‌های مختلف برای نتایج پژوهش آیشک [14]

شکل 2 مقایسه پروفیل‌های (الف) سرعت و (ب) دما در نفوذپذیری‌های مختلف برای نتایج پژوهش آیشک [14]



**Fig. 5** تاثیر نوع نانوسيال روی پروفیل‌های سرعت در حالات (الف) مکش، (ب) صفحه نفوذپذیر و (ج) دمنش

مشاهده می‌شود با دمنش سیال داخل لایه مرزی، ضریب اصطکاک پوسته‌ای محلی کاهش می‌یابد. همان‌طور که در "شکل 4" نیز نشان داده شد، افزایش دمنش، افزایش ضخامت لایه مرزی و کاهش گرادیان سرعت روی سطح صفحه را در پی خواهد داشت که نتیجه آن کاهش تنش برشی و اصطکاک پوسته‌ای روی سطح خواهد بود. این در حالی است که افزایش پارامتر مکش، سبب



**Fig. 4** تاثیر پارامتر نفوذپذیری بر پروفیل‌های سرعت برای نانوسيال آب-مس و مقایسه با حالت سیال پایه

"شکل 8" تاثیر پارامتر ناخ نفوذپذیری روی پروفیل دما را نشان می‌دهد. همان‌طور که مشخص است، با افزایش پارامتر مکش، دمای بدون بعد و ضخامت لایه مرزی حرارتی کاهش و گرادیان دما در لایه مرزی افزایش می‌یابد. در واقع افزایش پارامتر مکش افزایش ناخ انتقال حرارت را در پی خواهد داشت. همچنین مقایسه نمودارهای پژوهش آیشک [14] و بررسی حاضر نشان می‌دهد که با افزایش پارامتر مکش، وابستگی دمای سطح صفحه به کسر حجمی نانوذرات کم رنگ‌تر می‌شود. این نکته با مشاهده "شکل 5 (الف)" که مقدار پارامتر مکش در آن زیاد است، به وضوح قابل رویت می‌باشد. همچنین در حالتی که پارامتر دمنش مقدار بسیار بالای دارد ( $f_w = -1$ ) و مقدار آن از دمنش بحرانی بیشتر است، وابستگی دمای بی‌بعد سطح صفحه و گرادیان آن به حضور نانوذرات کاهش می‌یابد. این در حالی است که در دمنش‌های کمتر، تاثیر مثبت حضور نانوذرات (کاهش دمای بی‌بعد سطح و در نتیجه افزایش انتقال حرارت) قابل مشاهده است.

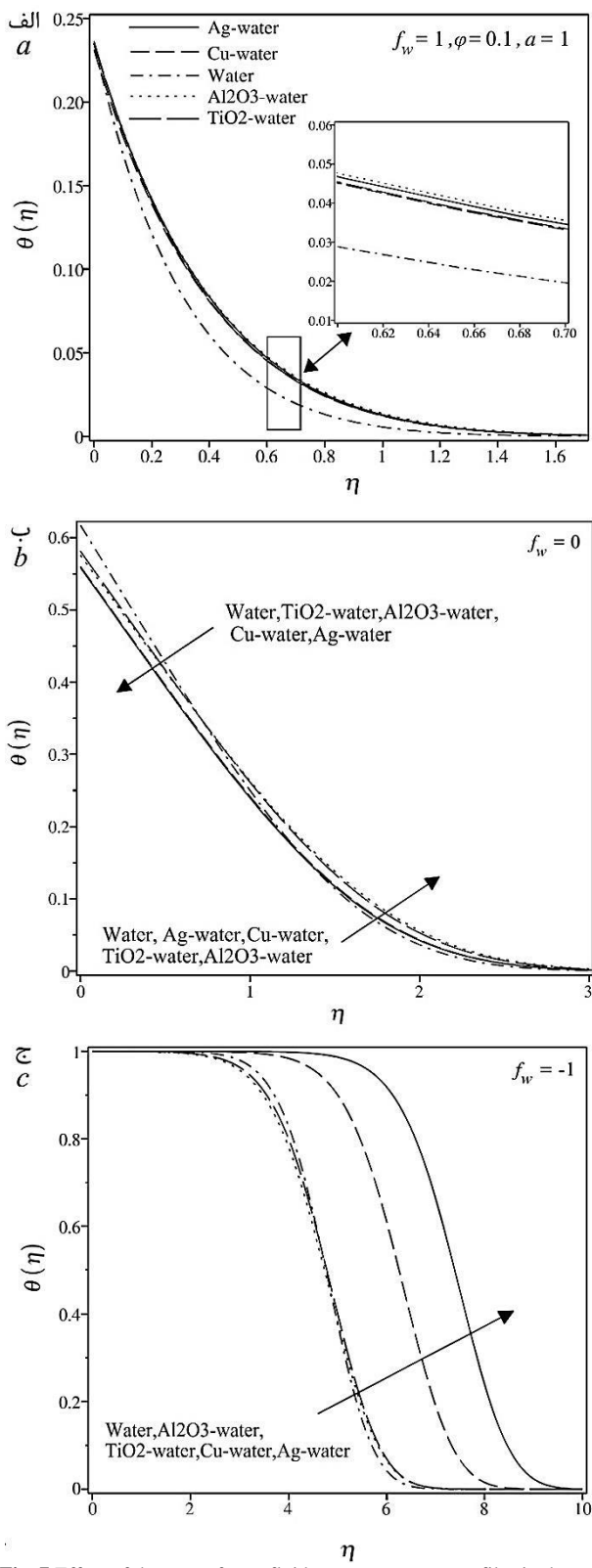
#### 4-3-بررسی ضریب اصطکاک پوسته‌ای محلی

جدول 2 مقادیر ضریب اصطکاک پوسته‌ای محلی را تحت تاثیر پارامتر ناخ نفوذپذیری، کسر حجمی نانوذراتها و نوع نانوذرات‌ها نشان می‌دهد.

**جدول 2** مقادیر ضریب اصطکاک پوسته‌ای محلی

**Table 2** Values of the local skin friction coefficient

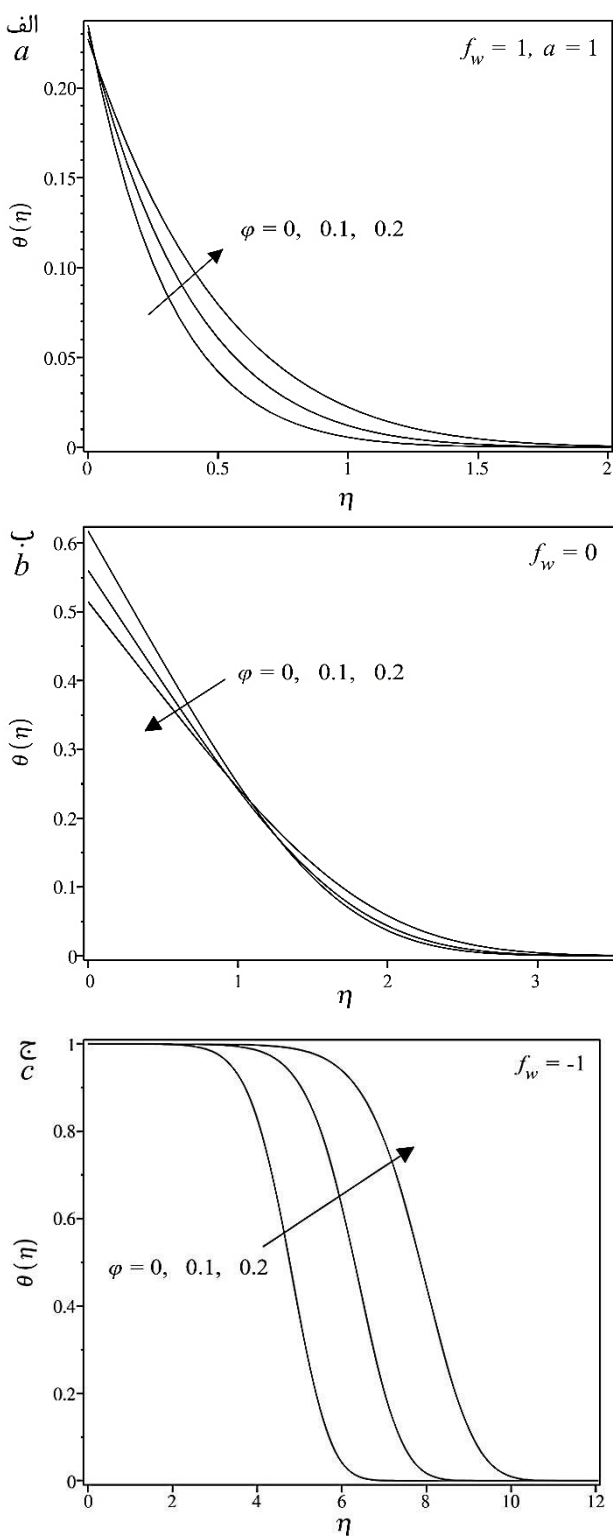
آب-مس	آب-تیتانیا	آب-آلومینا	آب-نقره	$f_w$	$\varphi$
0.0356	0.0356	0.0356	0.0356	-1	0
0.1645	0.1645	0.1645	0.1645	-0.5	
0.3321	0.3321	0.3321	0.3321	0	
0.5228	0.5228	0.5228	0.5228	0.5	
0.7289	0.7289	0.7289	0.7289	1	
0.0100	0.0442	0.0465	0.0034	-1	0.1
0.2118	0.2142	0.2140	0.2093	-0.5	
0.5076	0.4362	0.4316	0.5294	0	
0.8529	0.6893	0.6792	0.9050	0.5	
1.2284	0.9628	0.9467	1.3157	1	
0.0054	0.0698	0.0745	0.0018	-1	0.2
0.2815	0.2866	0.2859	0.2751	-0.5	
0.7066	0.5642	0.5545	0.7482	0	
1.2057	0.8790	0.8584	1.3096	0.5	
1.7495	1.2187	1.1860	1.9227	1	



**Fig. 7** Effect of the type of nanofluids on temperature profiles in the cases of (a) suction, (b) impermeable surface and (c) injection

شکل 7 تاثیر نوع نانوپارچهای روی پروفیل‌های دما در حالات (الف) مکش، (ب) صفحه نفوذنپذیر و (ج) دمش

افزایش می‌باید، ولی در حالت دمش وقتی که پارامتر دمش به ازای نانوپارچه‌های آب-مس و آب-نقره بالاتر از دمش بحرانی باشد ( $f_w > -0.5$ )، عکس این روند مشاهده می‌شود. علاوه بر این در حالات‌های مکش و صفحه



**Fig. 6** Effect of Cu nanoparticles volume fraction on temperature profiles in the cases of (a) suction, (b) impermeable surface and (c) injection

شکل 6 تاثیر کسر حجمی نانوپارچه‌های مس بر پروفیل‌های دما در حالات (الف) مکش، (ب) صفحه نفوذنپذیر و (ج) دمش

افزایش گرادیان سرعت روی سطح و در نتیجه افزایش تنش برشی و ضریب اصطکاک پوسته‌ای خواهد شد. همچنین برای حالات‌های مکش و صفحه نفوذنپذیر با افزایش کسر حجمی نانوپارچه‌ها ضریب اصطکاک پوسته‌ای محلی

سیال گرم ( $\eta$ ) افزایش می‌یابد، بنابراین با کاهش مقاومت جابجایی سمت سیال گرم، دمای بی بعد سطح افزایش می‌یابد. علاوه بر این، زمانی که ثابت  $a$  به سمت بینهایت میل می‌کند، ضریب انتقال حرارت جابجایی سمت سیال گرم ( $\eta$ ) نیز به سمت بینهایت میل می‌کند، درنتیجه دمای سطح صفحه به دمای سیال گرم می‌رسد و دمای بی بعد سطح به سمت 1 میل می‌کند. با افزایش پارامتر مکش افزایش عدد ناسلت محلی مشاهده می‌شود در حالی که با افزایش پارامتر دمش عدد ناسلت محلی کاهش شدیدی می‌یابد. در واقع طبق رابطه (17) عدد ناسلت تحت تاثیر گرادیان دما روی سطح و هدایت حرارتی نانوپیال می‌باشد. بنابراین با افزایش پارامتر مکش لایه مرزی حرارتی کاهش و گرادیان دما افزایش می‌یابد که نتیجه آن افزایش عدد ناسلت خواهد بود.

همچنین افزایش کسر حجمی نانوذرات در همه حالت‌ها افزایش هدایت حرارتی نانوپیال و به تبع آن افزایش عدد ناسلت محلی را در پی خواهد داشت. در حالت‌های دمش و صفحه نفوذ ناپذیر، میزان عدد ناسلت محلی به ازای نانوپیال آب-نقره بالاتر از سایر نانوپیالات است. این درحالی است که در حالت مکش، میزان عدد ناسلت برای نانوپیال آب-مس بالاتر است. لازم به ذکر است که نانوذره نقره ضریب هدایت حرارتی بالاتری نسبت به نانوذره مس دارد.

### 5- نتیجه‌گیری

در مطالعه حاضر تاثیر پارامتر نفوذپذیری بر جریان و انتقال حرارت چهار نانوپیال مختلف روى یک صفحه نفوذپذیر در حضور شرط مرزی جابجایی به صورت عددی و با استفاده از حل تشبیه مورد بررسی قرار گرفته است. تأثیرات کسر حجمی نانوذرات، پارامتر شرط مرزی جابجایی و نوع نانوپیال در حالات مختلف مکش، صفحه نفوذ ناپذیر و دمش به ازای نرخ‌های مختلفی از پارامتر نفوذپذیری بررسی شد. برخی از نتایج مهم بدست آمده از این پژوهش عبارتند از:

1- در حالت‌های مکش و صفحه نفوذناپذیر با افزایش کسر حجمی نانوذرات، ضخامت لایه مرزی سیالاتی کاهش و گرادیان سرعت روی سطح افزایش می‌یابد. برای این حالت‌ها، نانوپیال آب-نقره و آب-آلومینا به ترتیب بیشترین و کمترین ضریب اصطکاک پوسهای محلی را نشان می‌دهند. همان‌طور که مشاهده می‌شود، با افزایش پارامتر  $a$  عدد ناسلت محلی افزایش می‌یابد. در واقع با افزایش  $a$  (تعریف شده در رابطه 13) ضریب انتقال حرارت جابجایی سمت

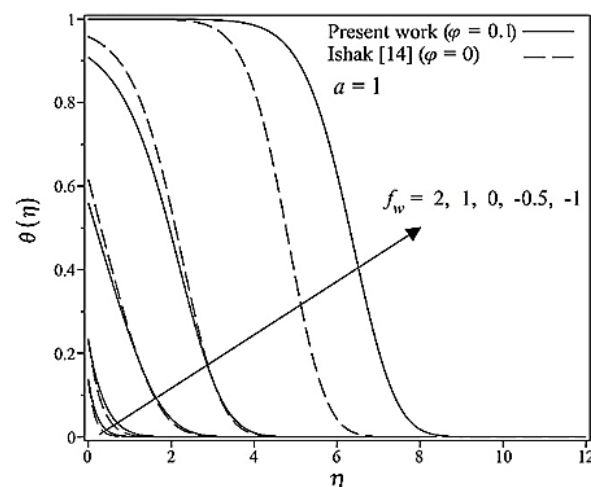


Fig. 8 Effect of permeability on temperature profiles for Cu-water nanofluid compared with water without nanoparticles

شکل 8 تاثیر پارامتر نفوذپذیری بر پروفیل‌های دما برای نانوپیال آب-مس و مقایسه با حالت سیال پایه

نفوذناپذیر نانوپیال آب-نقره و آب-آلومینا به ترتیب بیشترین و کمترین ضریب اصطکاک پوسهای محلی را نشان می‌دهند که این نتایج تحت تاثیر چگالی نانوذرات می‌باشد. در حالت دمش کمترین میزان اصطکاک، به ترتیب مربوط به نانوپیال‌های آب-نقره و آب-مس می‌باشد. بنابراین در فرآیندهایی که کاهش اصطکاک مدنظر است دمش شدید نانوپیال آب-نقره با کسر حجمی بالا، می‌تواند نتایج مطلوبی را در پی داشته باشد.

### 4- بررسی عدد ناسلت محلی

جدول 3 مقادیر عدد ناسلت محلی را تحت تاثیر پارامتر نرخ نفوذپذیری، کسر حجمی نانوذره‌ها، نوع نانوذره‌ها و ثابت  $a$  نشان می‌دهد. همان‌طور که مشاهده می‌شود، با افزایش پارامتر  $a$  عدد ناسلت محلی افزایش می‌یابد. در واقع با افزایش  $a$  (تعریف شده در رابطه 13) ضریب انتقال حرارت جابجایی سمت

جدول 3 مقادیر عدد ناسلت محلی

	آب-مس	آب-تیتان	آب-آلومینا	آب-نقره	$f_w$	$a$	$\varphi$
0.0423	0.0423	0.0423	0.0423	0.0423	-0.5	1	0
0.3827	0.3827	0.3827	0.3827	0.3827	0		
0.6458	0.6458	0.6458	0.6458	0.6458	0.5		
0.7649	0.7649	0.7649	0.7649	0.7649	1		
0.0919	0.0799	0.0861	0.0954	0.0954	-0.5	1	0.1
0.4398	0.4188	0.4243	0.4411	0.4411	0		
0.6616	0.6517	0.6538	0.6590	0.6590	0.5		
0.7687	0.7636	0.7646	0.7655	0.7655	1		
0.1543	0.1266	0.1418	0.1612	0.1612	-0.5	1	0.2
0.4855	0.4498	0.4609	0.4857	0.4857	0		
0.6760	0.6575	0.6622	0.6706	0.6706	0.5		
0.7728	0.7626	0.7650	0.7665	0.7665	1		
0.0488	0.0487	0.0487	0.0487	0.0487	0.5	0.05	0.1
0.0951	0.0949	0.0950	0.0951	0.0951		0.1	
0.6616	0.6517	0.6538	0.6590	0.6590		1	
1.6352	1.5760	1.5886	1.6196	1.6196		10	
1.8813	1.8034	1.8199	1.8607	1.8607		50	

نانوسيال nf

s جامد

## 7- مراجع

- [1] F. Labropulu, J. M. Dorrepaal, O. P. Chandna, Oblique flow impinging on a wall with suction or blowing, *Acta Mechanica*, Vol. 115, No. 2, pp. 15-25, 1996.
- [2] O. Aydin, A. Kaya, Laminar boundary layer flow over a horizontal permeable flat plate, *Applied Mathematics and Computation*, Vol. 161, No. 1, pp. 229-240, 2005.
- [3] P. Akbarzadeh, I. Mirzaee, M. H. Kayhani, E. Akbarzadeh, Blowing and suction effect on drag and lift coefficients for viscous incompressible flows over hydrofoils by power-law preconditioning method, *Modares Mechanical Engineering*, Vol. 14, No. 4, pp. 129-140, 2014. (In Persian) (فارسی)
- [4] P. Akbarzadeh, E. Akbarzadeh, Numerical investigation of blowing effect on hydrodynamic behavior of cavitating flows over hydrofoils using power law preconditioning method, *Modares Mechanical Engineering*, Vol. 14, No. 8, pp. 59-67, 2014. (In Persian) (فارسی)
- [5] M. Kazemi Kelishami, E. Lakzian, Three dimensional investigation of gas turbine cooling techniques on a flat plate and presentation of method with maximum cooling effectiveness, *Modares Mechanical Engineering*, Vol. 16, No. 4, pp. 77-87, 2016. (In Persian) (فارسی)
- [6] A. A. Rabienataj Darzi, S. Vadudi Mofid, Flow control via co-flow jet over Clark-Y airfoil, *Modares Mechanical Engineering*, Vol. 17, No. 2, pp. 147-156, 2017. (In Persian) (فارسی)
- [7] E. Lakzian, M. Forozan, A Similarity solution of the MHD fluid over a stretching sheet: A qualitative investigation of the surface with constant suction in cooling process, *Modares Mechanical Engineering*, Vol. 17, No. 4, pp. 341-348, 2017. (In Persian) (فارسی)
- [8] T. Watanabe, Free convection boundary layer flow with uniform suction or injection over a cone, *Acta Mechanica*, Vol. 87, No. 1, pp. 1-9, 1991.
- [9] T. Watanabe, Forced and free mixed convection boundary layer flow with uniform suction or injection on a vertical plate, *Acta Mechanica*, Vol. 89, No. 4, pp. 123-132, 1991.
- [10] E. Magyari, B. Keller, Exact solutions for self-similar boundary-layer flows induced by permeable stretching walls, *European Journal of Mechanics – B/Fluids*, Vol. 19, No. 1, pp. 109-122, 2000.
- [11] P. D. Weidman, D. G. Kubitschek, A. M. J. Davis, The effect of transpiration on self-similar boundary layer flow over moving surfaces, *International Journal of Engineering Science*, Vol. 44, No. 11, pp. 730-737, 2006.
- [12] S. Ghosh, S. Mukhopadhyay, K. Vajravelu, Dual solutions of slip flow past a nonlinearly shrinking permeable sheet, *Alexandria Engineering Journal*, Vol. 55, No. 1, pp. 1835-1840, 2016.
- [13] O. D. Makinde, P. O. Olanrewaju, Unsteady mixed convection with Soret and Dufour effects past a porous plate moving through a binary mixture of chemically reacting fluid, *Chemical Engineering Communications*, Vol. 198, No. 7, pp. 920-938, 2011.
- [14] I. Ishak, Similarity solutions for flow and heat transfer over a permeable surface with convective boundary condition, *Applied Mathematics and Computation*, Vol. 217, No. 2, pp. 837-842, 2010.
- [15] M. Ziaei-Rad, A. Kasaeipoor, A Numerical study of similarity solution for mixed-convection copper-water nanofluid boundary layer flow over a horizontal plate, *Modares Mechanical Engineering*, Vol. 14, No. 14, pp. 190-198, 2015. (In Persian) (فارسی)
- [16] N. Freidoonimehr, A. Baradarani Rahimi, Investigation of MHD nano-fluid flow over stretching surface with velocity slip and convective surface boundary conditions, *Modares Mechanical Engineering*, Vol. 15, No. 3, pp. 208-218, 2015. (In Persian) (فارسی)
- [17] N. Bachok, A. Ishak, I. Pop, Flow and heat transfer characteristics on a moving plate in a nanofluid, *International Journal of Heat and Mass Transfer*, Vol. 55, No. 4, pp. 642-648, 2012.
- [18] N. Bachok, A. Ishak, R. Nazar, N. Senu, Stagnation-point flow over a permeable stretching/shrinking sheet in a copper-water nanofluid, *Boundary Value Problems*, Vol. 39, No. 1, pp. 39-45, 2013.
- [19] T. G. Motsumi, O. D. Makinde, Effects of thermal radiation and viscous dissipation on boundary layer flow of nanofluids over a permeable moving flat plate, *Physica Scripta*, Vol. 86, No. 4, pp. 045003, 2012.
- [20] K. Das, T. Chakraborty, P. Kumar Kundu, Slip effects on nanofluid flow over a nonlinear permeable stretching surface with chemical reaction, *Proceedings of the Institution of Mechanical Engineers, Part C: Journal of Mechanical Engineering Science*, Vol. 230, No. 14, pp. 2473-2482, 2016.
- [21] M. Ziaei-Rad, A. Kasaeipoor, M. M. Rashidi, G. Lorenzini, A similarity solution for mixed-convection boundary layer nanofluid flow on an inclined permeable surface, *Journal of Thermal Science and Engineering Applications*, Vol. 9, No. 2, pp. 021015, 2017.
- [22] R. J. Tiwari, M. K. Das, Heat transfer augmentation in a two-sided lid-driven differentially heated square cavity utilizing nano-fluids, *International Journal of Heat and Mass Transfer*, Vol. 50, No. 9, pp. 2002-2018, 2007.

نمی‌کند که نشان‌دهنده ضعیف بودن عملکرد حرارتی صفحه نفوذپذیر در این حالت است. در حالت کلی، افزایش کسر حجمی نانوذرات در همه حالت‌ها، افزایش عدد ناسلت محلی را در پی دارد اما اثر تغییر کسر حجمی برای حالت دمش خیلی بیشتر از حالت مکش می‌باشد.

4- با افزایش پارامتر مکش، وابستگی دمای صفحه به کسر حجمی نانوذرات کمتر می‌شود. این موضوع برای حالتهای که پارامتر دمش مقدار بسیار بالایی دارد نیز مشاهده می‌شود. این در حالی است که در دمشهای کمتر، تاثیر مثبت حضور نانوذرات (افزایش انتقال حرارت و در نتیجه کاهش دمای سطح) قابل مشاهده است. در حالت صفحه نفوذپذیر، دمای سطح نسبت به تغییر کسر حجمی نانوذرات حساسیت بیشتری از خود نشان می‌دهد.

## 6- فهرست علائم

ثابت	$a, c$
ظرفیت حرارتی ویژه ( $J\text{kg}^{-1}\text{K}^{-1}$ )	$C_p$
ضریب اصطکاک	$C_f$
تابع جریان بدون بعد	$f$
ثبت نرخ نفوذپذیری	$f_w$
ضریب انتقال حرارت جایجاای ( $\text{Wm}^{-2}\text{K}^{-1}$ )	$h$
هدایت حرارتی ( $\text{Wm}^{-1}\text{K}^{-1}$ )	$k$
عدد ناسلت	$Nu$
عدد پرانتل	$Pr$
شار حرارتی سطح ( $\text{Wm}^{-2}$ )	$q_w$
عدد رینولدز	$Re$
دمای نانوسيال (K)	$T$
دمای سطح (K)	$T_w$
دمای سمت سیال گرم (K)	$T_f$
دمای جریان آزاد (K)	$T_\infty$
سرعت جریان آزاد ( $\text{ms}^{-1}$ )	$U_\infty$
سرعت در راستای x و y ( $\text{ms}^{-1}$ )	$u, v$
سرعت انتقال جرم روی سطح ( $\text{ms}^{-1}$ )	$v_w$
مختصات طول صفحه (m)	$x$
مختصات عمود بر صفحه (m)	$y$
علائم یونانی	
ضریب پخش حرارتی ( $\text{m}^2\text{s}^{-1}$ )	$\alpha$
متغیر تشابهی	$\eta$
دمای بدون بعد	$\theta$
لرجت دینامیکی ( $\text{kgm}^{-1}\text{s}^{-1}$ )	$\mu$
لرجت سینماتیکی ( $\text{m}^2\text{s}^{-1}$ )	$\nu$
چگالی سیال ( $\text{kgm}^{-3}$ )	$\rho$
تنش برشی روی سطح ( $\text{kgm}^{-1}\text{s}^{-2}$ )	$\tau_w$
کسر حجمی نانوذرات	$\Phi$
تابع جریان	$\psi$
زیرنویس‌ها	$f$ سیال

- Computation*, Vol. 206, No. 2, pp. 832–840, 2008.
- [30] A. Ishak, R. Nazar, I. Pop, Mixed convection boundary layer flow adjacent to a vertical surface embedded in a stable stratified medium, *International Journal of Heat and Mass Transfer*, Vol. 51, No. 13, pp. 3693-3695, 2008.
- [31] A. Ishak, R. Nazar, I. Pop, Local similarity solutions for laminar boundary layer flow along a moving cylinder in a parallel stream, *LNCS Computer Mathematics*, Vol. 5081, No. 1, pp. 224-235, 2008.
- [32] E. Abu-Nada, H. F. Oztop, Effects of inclination angle on natural convection in enclosures filled with Cu-water nano-fluid, *International Journal of Heat and Fluid Flow*, Vol. 30, No. 4, pp. 669-678, 2009.
- [33] M. S. Alam, M. M. Rahman, Dufour and Soret effects on mixed convection flow past a vertical porous flat plate with variable suction, *Nonlinear Analysis: Modelling and Control*, Vol. 11, No. 1, pp. 3-12, 2006.
- [34] H. F. Oztop, E. Abu-Nada, Numerical study of natural convection in partially heated rectangular enclosures filled with nano-fluids, *International Journal of Heat and Fluid Flow*, Vol. 29, No. 5, pp. 1326–1336, 2008.
- [23] H. Schlichting, K. Gersten, *Boundary-Layer Theory*, pp. 52, New York, Springer, 2000.
- [24] B. C. Pak, Y. I. Cho, Hydrodynamic and heat transfer study of dispersed fluids with submicron metallic oxide particles, *Experimental Heat Transfer an International Journal*, Vol. 11, No. 2, pp. 151-170, 1998.
- [25] X. Yimin, Q. Li, Heat transfer enhancement of nanofluids, *International Journal of heat and fluid flow*, Vol. 21, No. 1, pp. 58-64, 2000.
- [26] H. C. Brinkman, The viscosity of concentrated suspensions and solutions, *The Journal of Chemical Physics*, Vol. 20, No. 4, pp. 571-571, 1952.
- [27] J. Buongiorno, Convective transport in nanofluids, *Journal of Heat Transfer*, Vol. 128, No. 3, pp. 240-250, 2006.
- [28] A. Aziz, A similarity solution for laminar thermal boundary layer over a flat plate with a convective surface boundary condition, *Communications in Nonlinear Science and Numerical Simulation*, Vol. 14, No. 4, pp. 1064–1068, 2009.
- [29] R. C. Bataller, Radiation effects for the Blasius and Sakiadis flows with a convective surface boundary condition, *Applied Mathematics and*